

(44) 軟弱地盤と深い杭基礎における地震観測について

北大工学部 正員 芳村 仁 正員○中辺 隆

1. まえがき

橋梁、トンネル、タンク、あるいは地下埋設物において、地盤とそれら構造物の相互作用を明らかにするために、強震観測が行われるとともに得られた実地震記録を用いた実証的報告がこれまでにもいくつかなされている。しかししながら、軟弱な地盤に深い杭基礎を有する橋梁形式において、その周辺地盤と杭基礎の両方の地表および地中に地震計が設置されて強震観測が行われている例は少なく、耐震工学上有用となるデータの蓄積がまだ不十分であると思われる。

北海道東部厚岸湾に架かる厚岸大橋の近傍地盤およびその橋脚において、過去10年の間に観測された、マグニチュードが5を越える地震記録の数字化を行ない、スペクトル特性あるいは地震動の主軸方向に関して以下のような結果を得た。

(1) 橋台および橋脚中のGL=11m地点においては、各地震時の地震特性の相違にもかかわらず、これらのスペクトルには、橋梁の固有振動と判断される周波数成分が常に卓越しているのが見られる。

(2) 加速度地震動が求めた主軸の方向が、地表およびGL=-25m地盤等において、比較的狭い範囲内に分布し、しかもその方向が、大陸ではあるが、この地方の地殻が蓄えているひずみエネルギーの主方向、あるいはこの地方に起きた地震がもつと言われるすべりの方向にはほぼ対応している。

2. 強震記録

厚岸大橋は、図-1に示すように、北海道東部の厚岸湾と厚岸湖に架かる橋長465.5mの5径間ケルバー型ワーレントラス橋である(図-2)。周辺地盤はいわゆる軟弱地盤であり、約-60m付近の支持基盤である泥岩層にいたるまで、N値の小さな砂層と粘土層とか数mごとの互層をなしている。

地震計は、図-2に示すように、下橋の南側の地盤とP-4橋脚に、地表(橋台)にはSMAC-E₂型($f_0=20\text{Hz}$, $\beta=0.6$)、地中(橋脚)には動電型($f_0=7.5\text{Hz}$, $\beta=15$)の加速度計が、地盤では地表(A-0), GL=-25m(A-25), および-68m(A-68)地点に、橋脚では橋台(P-0), GL=-11m(P-11), および-47m(P-47)地点に設置されている。

解析は、昭和46年1以来、17回の地震時に観測された地盤における39組の記録と橋脚における35組の記録を用いて行った。表-1は各地震の地震諸元であり、また図-3はその時の震央分布を示している。

図-4は、地盤と橋脚の各深さ位置において記録された加速度波形の最大加速度値の度数分布である。表-1の地震の中には、ある深さ位置の地震計が作動しなが、ために記録が得られなか、たるものも

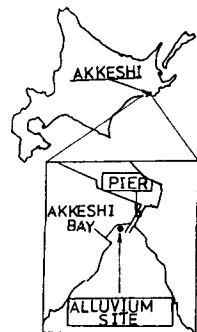


図-1 観測地



図-2 厚岸大橋と強震計の設置位置

	DATE	Mag.	Dist.	Depth
A	46. 08. 02	7.0	221	60
B	47. 03. 26	6.1	111	50
C	47. 05. 11	5.8	49	60
D	47. 09. 08	5.0	75	60
E	48. 06. 17	7.4	90	40
F	48. 06. 17	5.7	53	40
G	48. 06. 24	7.1	155	30
H	49. 09. 20	5.5	44	50
I	49. 11. 09	6.5	258	130
P	52. 08. 14	4.8	58	50
J	53. 05. 24	5.5	59	70
K	53. 06. 14	5.0	44	40
L	53. 12. 06	7.7	254	100
Q	55. 02. 24	6.8	145	30
M	56. 01. 23	7.1	227	130
N	56. 09. 12	5.9	136	130
O	56. 11. 23	6.0	109	40

表-1 解析に用いた地震記録

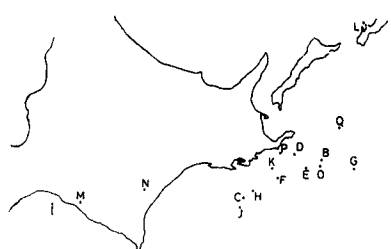


図-3 震央分布(記号は表-1に対応)

あり、度数分布図の各深さ位置における度数合計は異なっている。地盤地中記録においては多くの場合、特に GL-68 m 地点においては、そのほとんどが、最大加速度値が 10 gal 以下となっている。各深さ位置における最大加速度値は、A0 (136 gal; E), A-25 (43 gal; C), A-68 (24 gal; C), P0 (59 gal; G), P-11 (45 gal; L), P-47 (31 gal; C) であり、それらはすべて橋軸直角方向で記録されている。(カッコ内の記号は表-1に対応。)

3. 解析結果

周波数特性 図-4は、表-1の中で地表および地中の記録がすべて揃っている代表的な地震として、53.12.6 (L) の記録を選び、地盤と構梁の各深さ位置におけるフーリエスペクトルを示したものである。

図-5は、図-4と同様に求めた、各地震記録のフーリエスペクトル図における卓越周波数の度数分布を示したものである。なお、卓越がいくつかの周波数成分で見られる時には、主観的な判断によりその計数を行った。その特徴として、(1)一般的に地盤ではいくつかの周波数成分で卓越する事が多いのに対して、橋脚では特定の周波数成分で卓越している場合が多い。

(2)橋脚においては、各地震時の地震特性の相違にも拘わらず、常に 1.8~2.0 Hz 成分に強い卓越が見られる。この傾向は橋軸直角方向の P0 記録において非常に顕著であり、橋梁上部構造の固有振動の反映であると推察される。しかしながら、当地で観測された最も強い地震の 1 つである 48.6.17 の旅室半島沖地震 (E) の時には、図-6 に見るように、P0 の記録には、地盤の震動によるとと思われる周波数成分での卓越が強く現われている。

(3)地盤においては、その地中記録では、卓越周波数のはうつきは大きいが、地表記録では、比較的低周波数成分で卓越する場合が多い。これは、主に、泥岩層の支持基盤を有する当該地盤内における S 波の重複反射によると思われる。

(4)基盤 (A-68) における 3~4 Hz 成分の卓越は、地中の A-25 や脚中の P-47 の地點でもその影響が見られるが、地表に近づくにつれその影響度合は小さくなる。これも(3)同様の理由によると判断される。

相關性 図-8 は、地盤および橋脚において、それぞれ地表 (橋台) と地中 (脚中) との相互相關係数を求め、その最大値を度数分布表示したものである。

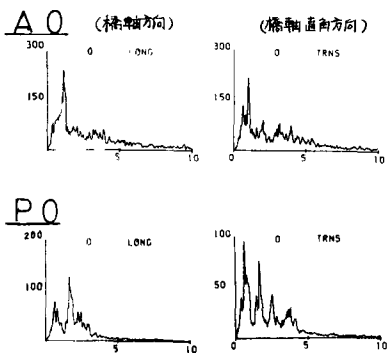


図-6 旅室半島沖地震のフーリエスペクトル

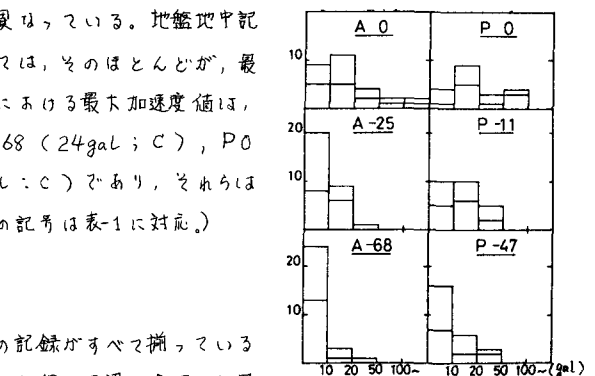


図-4 最大加速度値の度数分布 (上段: 橋軸記録, 下段: 直角)

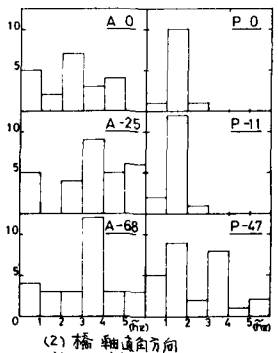
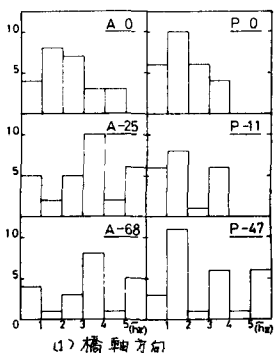


図-5 卓越周波数の度数分布

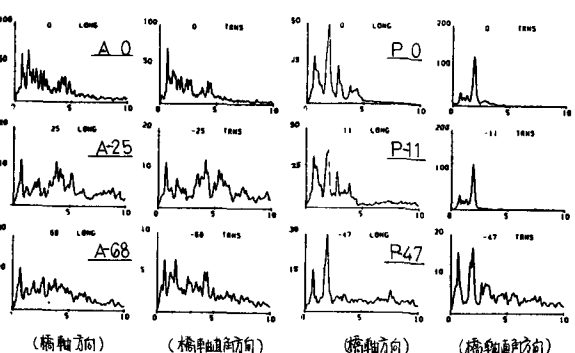


図-7 地盤と橋脚におけるフーリエスペクトル (53.12.6 記録)

橋軸方向と橋軸直角方向によつて、あるいは各深さ位置によつて、相互相関係数が最大となる波群が必ずしも一致していない事もあるので単純な比較は出来ないが、地盤での相関係数が A0 と A-25, A0 と A-68 とともに、多くの方が 0.5 未満であるのに対し、P0 と P-11 での値が、特にその直角方向の記録において大きな値となつてゐる。最大は L の 0.89 である。

主軸方向分布

地震動の主軸に関しては、これまでにもいくつかの研究がなされてきているが、主軸の方向を観測地と震央あるいはすべり感と結ぶ方向と関連づけている報告が多い。
(1) (2) (3)

図-9 は 地盤と橋脚で得られた記録を用いて、それまでの深さ位置における最大および中間主軸の水平面内の方向分布を示したものである。但し、表-1 中の記録には、特に橋脚の記録においては、上下動成分が記録されていなきものが多くあるが、既往の研究と同様に、ここでも三成分から求めた最大と中間の主軸の方向が、ほぼ水平面に近い向きを持つことが確認されたので、水平二成分だけを求めて主軸も最大および中間主軸と表現した。また、統計解析の手法に従い、全エネルギーに対する各主軸方向のエネルギーの比を寄与率(*proportion*)と表わした。

地盤の A0 や A-25 地点においては、ともに 1 つの例外を除いて、比較的狭い範囲内に最大主軸方向が分布し、しかも最大主軸と中間主軸とが A0 と A-25 とでは反転している。

一方、橋軸においては、P-11 に同様の傾向が見られるが、P0 では、その範囲がかなり広がつたものとなつてゐる。また、最大主軸の方向は P0, P-11 とともに A-25 と同じ方向を示すものが多いたが、その方向が中間主軸となつてゐるものも P0 で 2/12, P-11 で 3/12 となつてゐる。

図-10 と図-11 は それぞれ文献(4)から引用したものであるが、図-10 は、三角測量の結果から求められたこの地方の地震に蓄えられて、

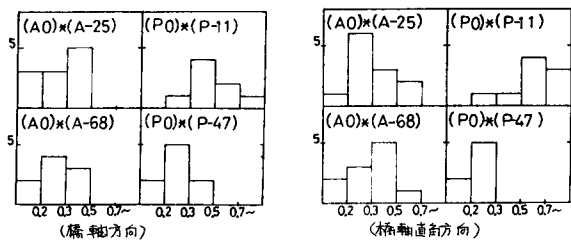


図-8 地盤と橋脚における相互相関係数の度数分布(橋軸-相関係数)

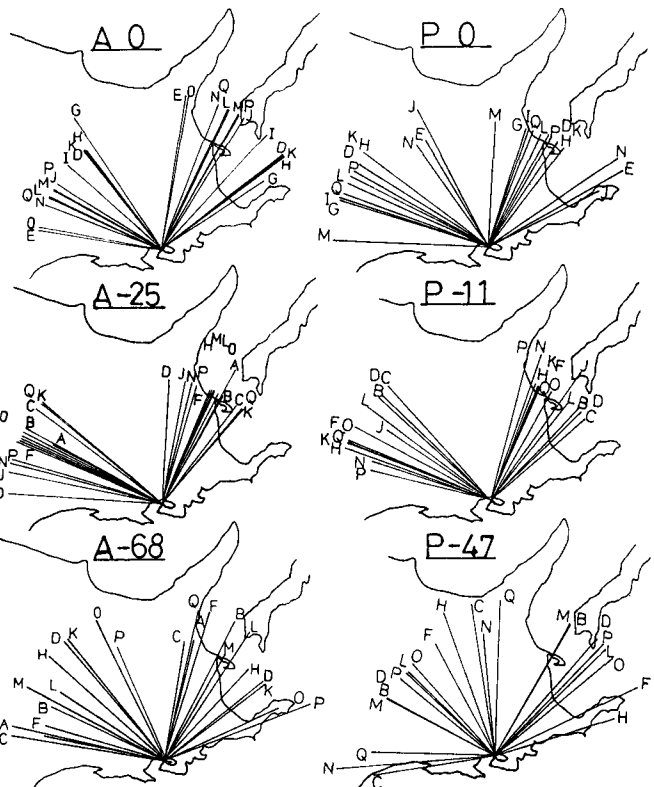
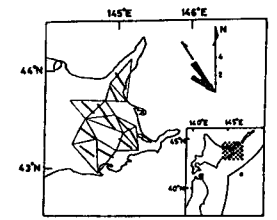


図-9 地盤と橋脚の各深さ位置における主軸方向の分布(橋軸-中間主軸)



The contraction principal axes of horizontal strain observed during the period from 1963-1964 to 1967. Geodetic surveys are shown for reference. The compass rose diagram at the upper right gives the azimuthal orientations of the axes. The attached arrow indicates the direction perpendicular to the Kuril trench. The solid circle in the insert indicates the epicenter of the shock of July 23, 1965. The trench axis is also shown for reference in the insert.

図-10 北海道東部の主ひずみ方向
(文献(4)より引用)

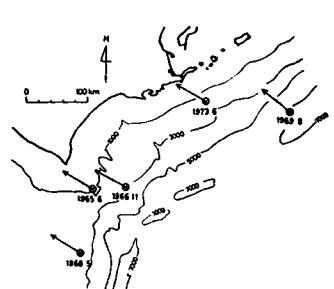


図-11 北海道東部で起きた地震のすべりの方向
(文献(3)より引用)

るひずみの主方向を示したものであり、図-11は、この地方で過去に起きた地震のすべりの方向を示しており、⁽³⁾すべりの方向が大体 $N 60^{\circ} W$ である事を表している。

図-9 の A0, A-25, P0 あるいは P-11 の地点における主軸の方向が、図-10 の主ひずみ方向、あるいは図-11 のすべりの方向にほぼ対応していることは興味深い結果である。

地盤の A-68 や、橋脚の P-47 地点において、その最大主軸方向の分布は大きなばらつきを示しているが、これで説明する理由は未だ不明である。

地盤の A0 と A-25, A0 と A-68, 橋脚の P0 と P-11, P0 と P-47 の間ににおいて、主軸同士のなす偏角（最大が中間かいずれか近い軸同士かなす角度）の大きさを求めてみると、A-25 (P-11) の方が A-68 (P-47) より A0 (P0) との偏角が小さく、A-25 では $7/10$, P-11 では $6/8$ の割合で、 $\pm 20^{\circ}$ 以下の偏角となる。一方、先に述べた周波数特性や相互相関係数とはちがって、P0 と P-11 の主軸方向分布の間には際立った相違は見られない。

図-12 は、地盤と橋脚の各深さ位置において、最大主軸方向の全エネルギーの寄与率を、3 地点で地震動が観測されている記録に対して求めたものである。同様に、図-13 は、この寄与率の累積分布曲線である。地盤にみるところは、A-25m 地点の最大主軸方向の全エネルギーの寄与率が大きくなっているが、これは、A-25m 地点にみける地盤の震動特性が強い方向性を持ったことを意味している。一方、橋脚にみるところは、図-13 の左側の図に見られるように、脚中の点が、地盤と比較して方向性がやや弱いのにに対し、天端では、地表よりも強い方向性が与えられている。これは、橋梁の上部構造の振動の方向性による影響と想われる。

4. あとがき

尾岸大橋の近傍地盤と橋脚で得られた強震記録を用いて、周波数特性や主軸方向の分布などについていくつかの基礎的な解析結果を報告したが、得られた結果の中には、その解釈に不明を残しているものがある。例えば、地盤における主軸方向の分布が、A0 と A-25 地点とでは、反対になり、いるが、これは、データ不足による單なる偶然であるのか、はたまた、当該地盤内の震動特性が与える局地的効果であるのか、あるいは、地震のすべりの方向との対応が支持基盤内の A-68 地点ではなく、A0 や A-25 であるのは何故か等の検討が今後も残されていく。観測地が半島部であるので、ここで得られた主軸方向の傾向的な分布は、この半島部の地盤震動の現象であり、今後報告した主ひずみ方向や震源におけるすべりの方向との対応は偶然であるとも考えられ、今後さらに主軸方向に与える震源や観測地地盤の影響を明確にしていかなければならぬ。

最後に、本研究の実施にあたり、御討議下さいました、美唄専修大学の金子孝吉先生と北大工学部佐々木康彦氏に深く感謝します。また、本研究は文部省科学研究費（奨励 A）により行いました。記して謝意を表します。

参考文献

- (1)星谷他；土木学会論文集、第286号、1977
- (2)渡部；昭和49年度建築研究所年報
- (3)多田；地震、第27巻、1974、120-128
- (4) SHIMAZAKI; P.E.P.I., Vol.6, 1972, 397~404
- (5) SHIMAZAKI; P.E.P.I., Vol.8, 1974, 148~157
- (6) ABE; P.E.P.I., Vol.7, 1973, 143~153
- (7) Kubo; E.E.R.C., 76-6, 1976
- (8) 芳村他；6th J.E.E.S., 1982, 281~288

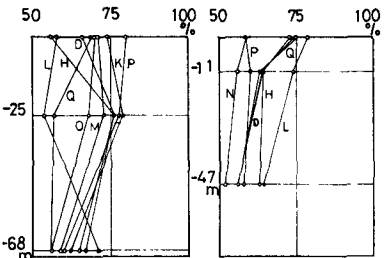


図-12 各深さ位置における最大主軸方向の寄与率

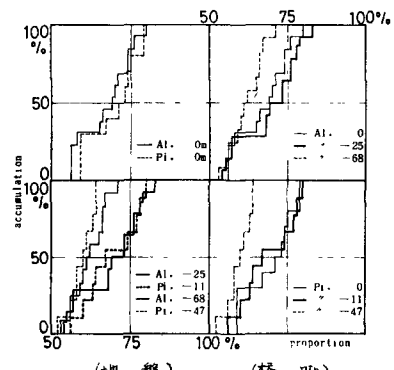


図-13 最大主軸方向の寄与率の累積分布(横軸=累積)